Нейросетевое пространственное масштабирование полей приповерхностного ветра над Баренцевым и Карским морями

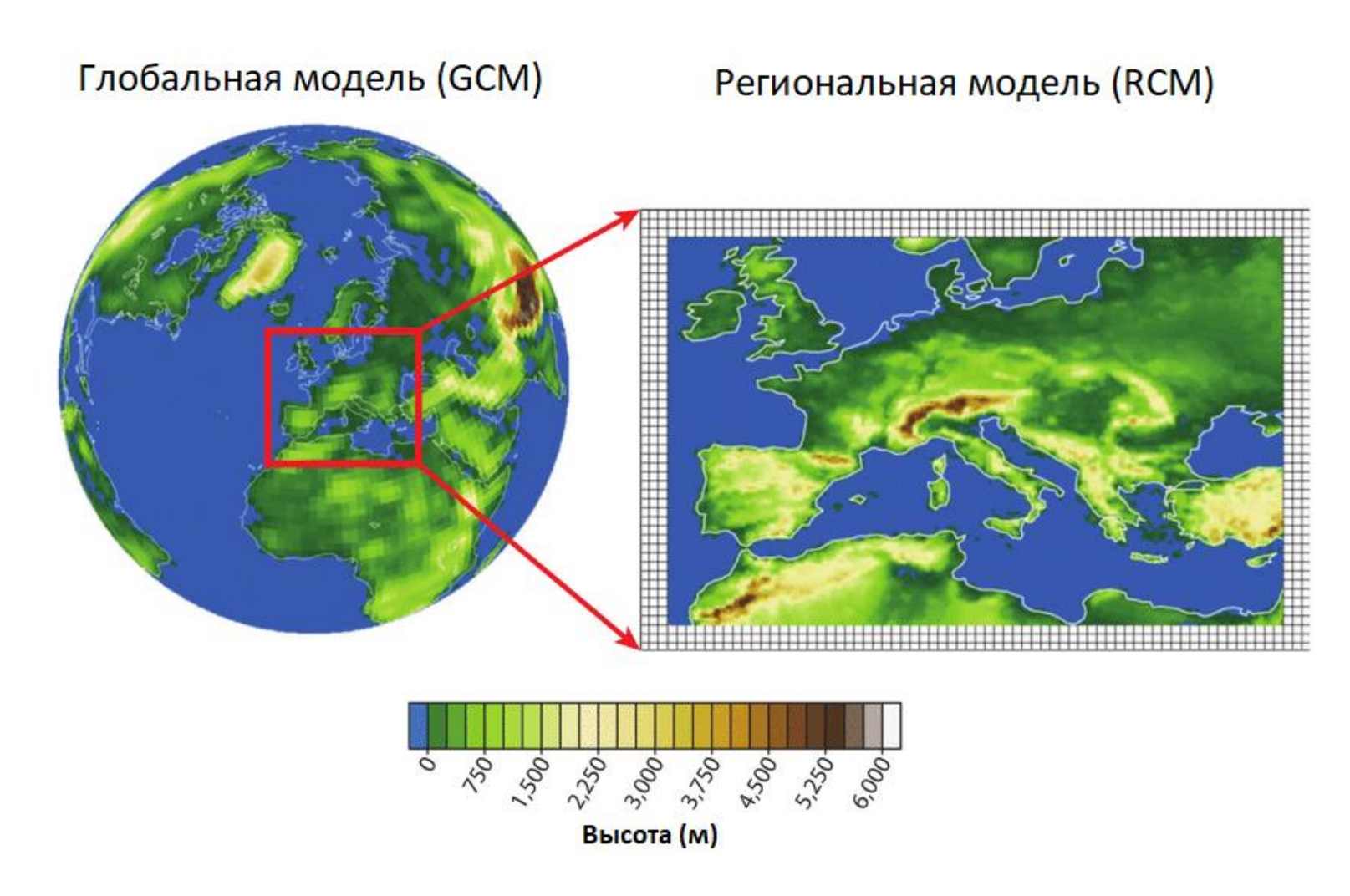
Резвов Вадим Юрьевич, Криницкий Михаил Алексеевич rezvov.vyu@phystech.edu

Московский физико-технический институт

Институт океанологии им. П.П. Ширшова Российской академии наук

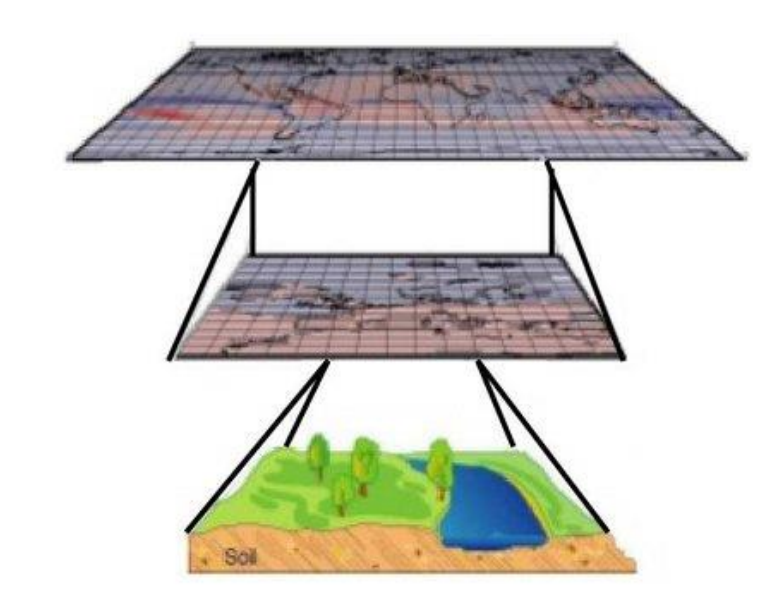
The 9th International Conference in Deep Learning in Computational Physics DLCP-2025 Москва, 3 июля 2025

Методы масштабирования

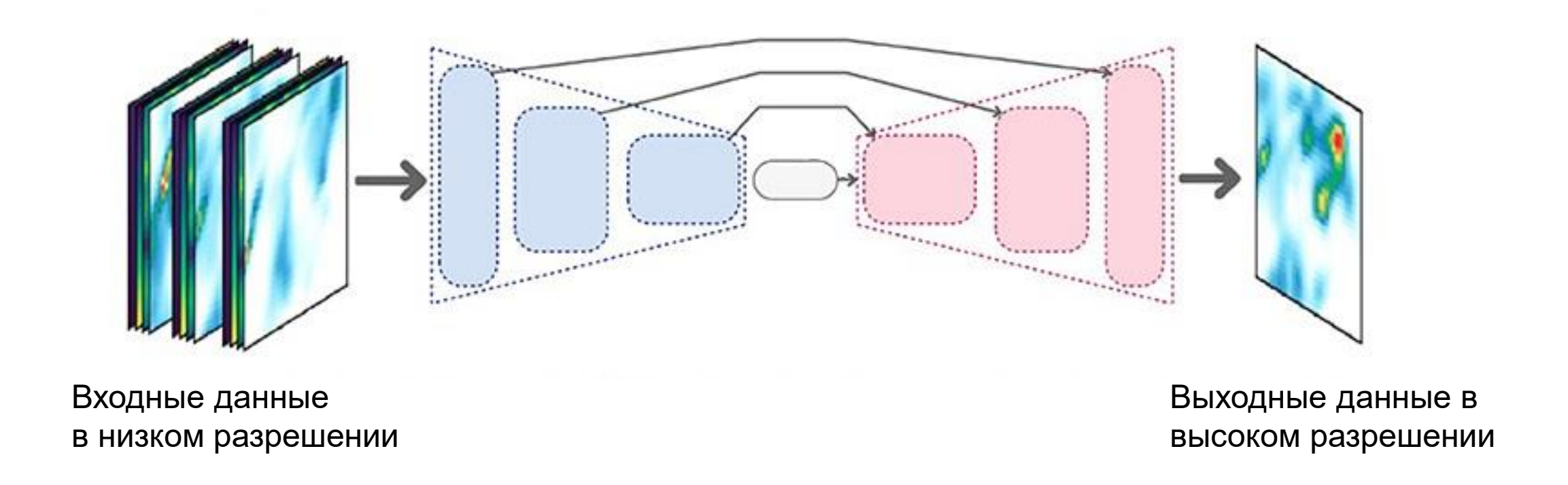


Схематическое описание динамического масштабирования. Уточнение топографии и береговых линий достигается использованием региональной климатической модели (RCM)

[Giorgi and Gutowski, 2015]

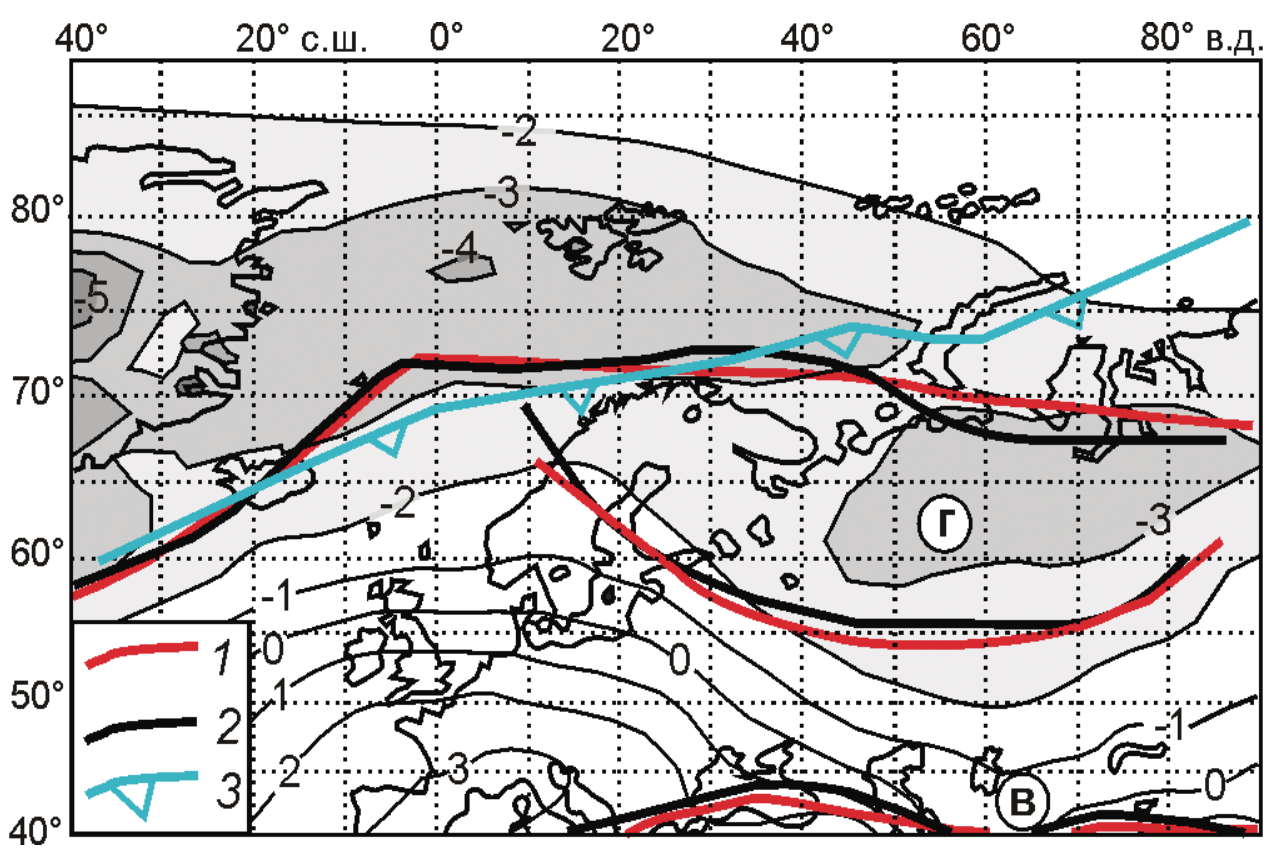


Статистическое масштабирование



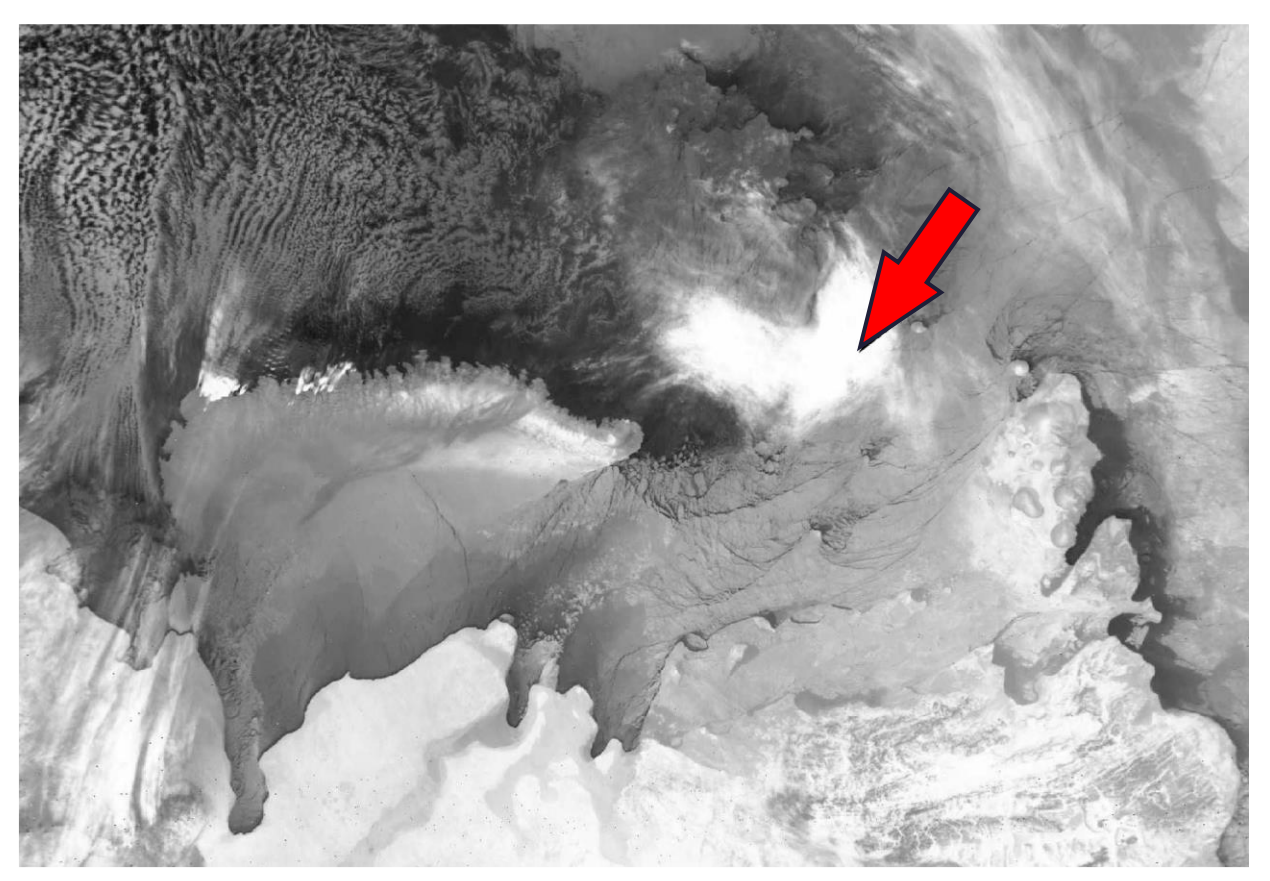
Схематическое описание статистического масштабирования с использованием искусственных нейронных сетей

Цель исследования: повышение эффективности высокоразрешенного моделирования приповерхностного ветра над Баренцевым и Карским морями



3 — арктический фронт по [Хромов, 1950] [Золотокрылин и др., 2014]

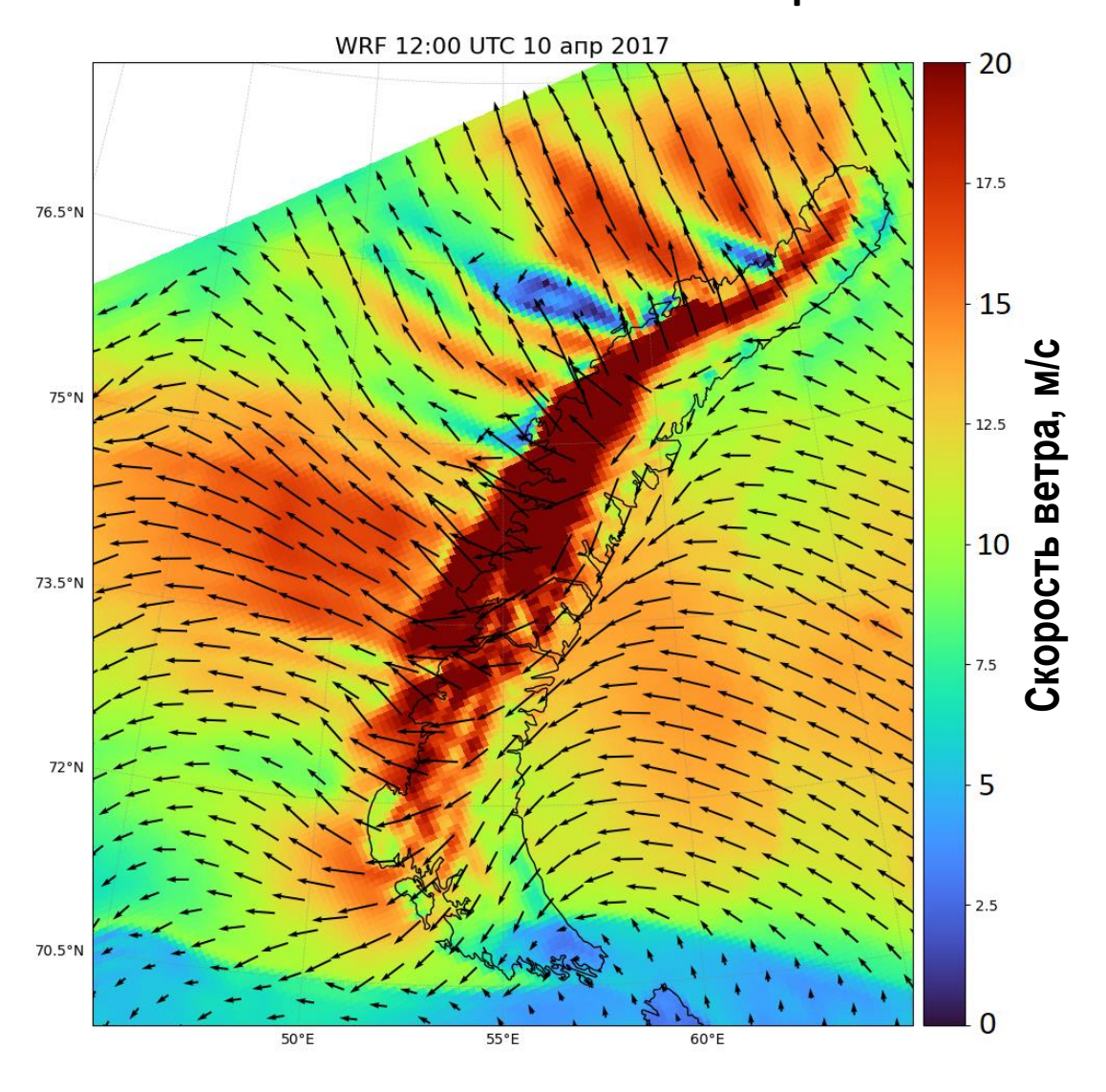
Полярный мезоциклон



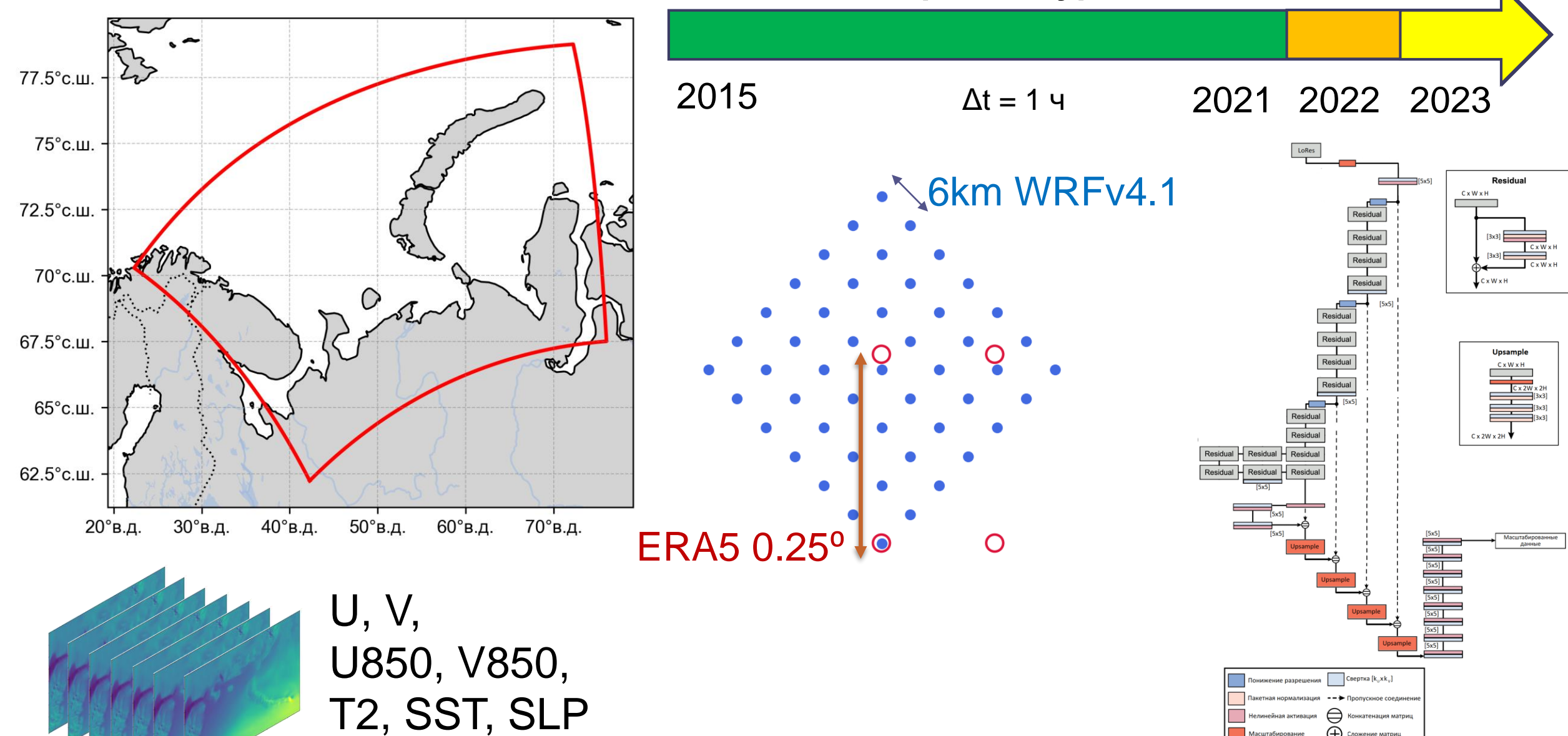
Облачная структура, соответствующая мезомасштабному вихрю в начальной стадии развития в районе Карского моря (снимок ИСЗ NOAA-14 26 декабря 2000 г. 08 ч. 58 мин.)

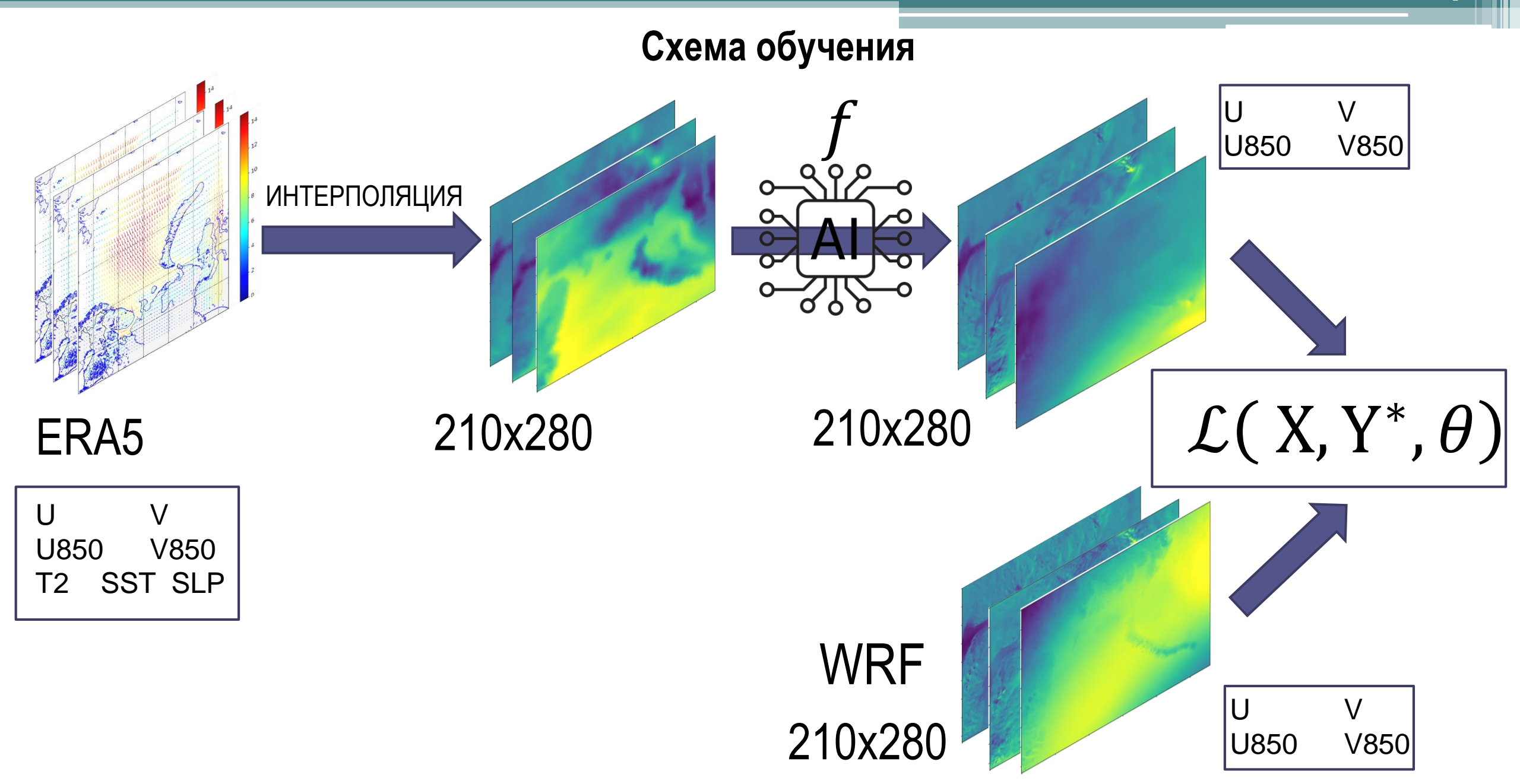
[Луценко, Лагун, 2010]

Новоземельская бора

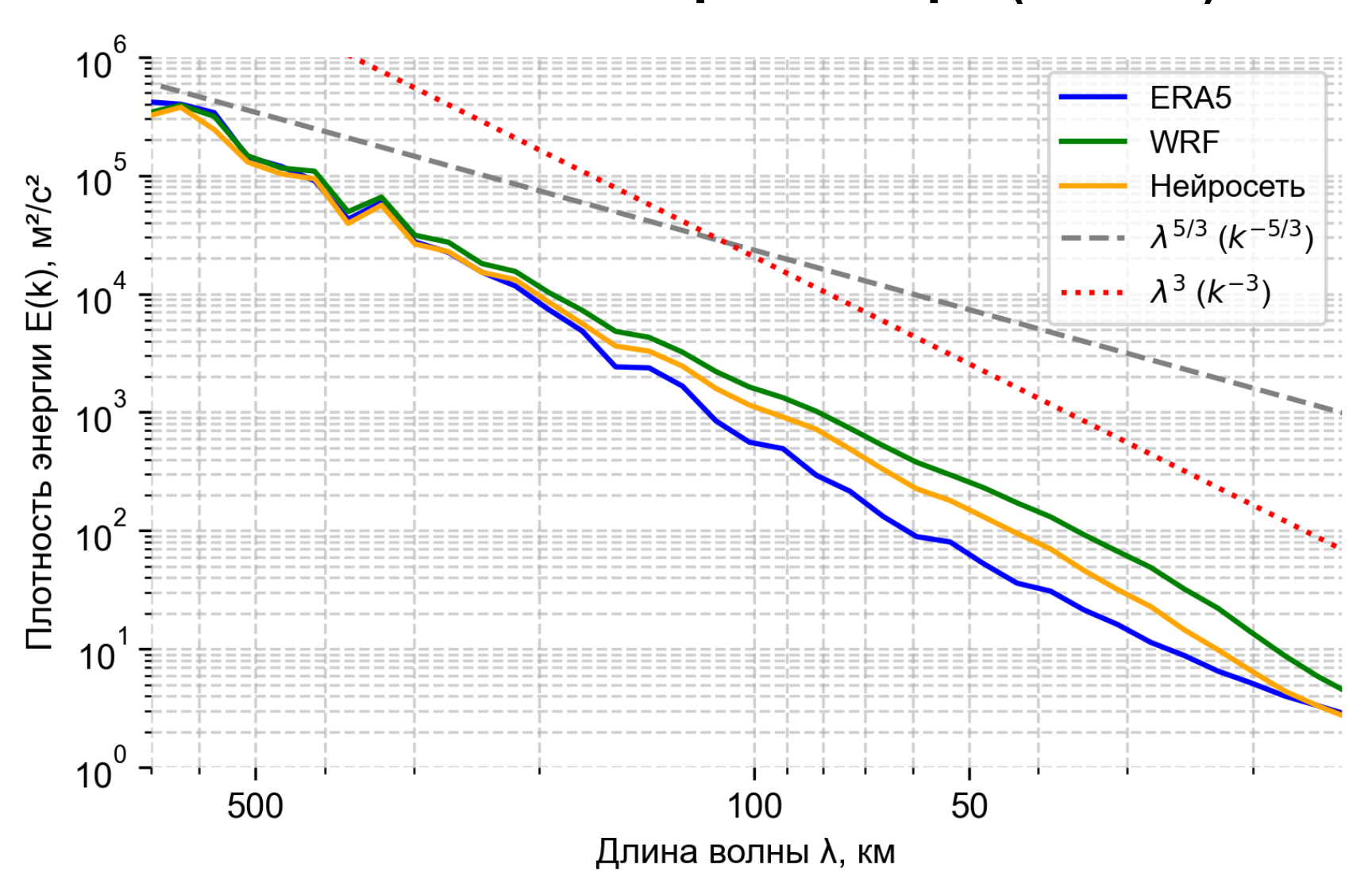


Начальные данные и архитектура ИНС





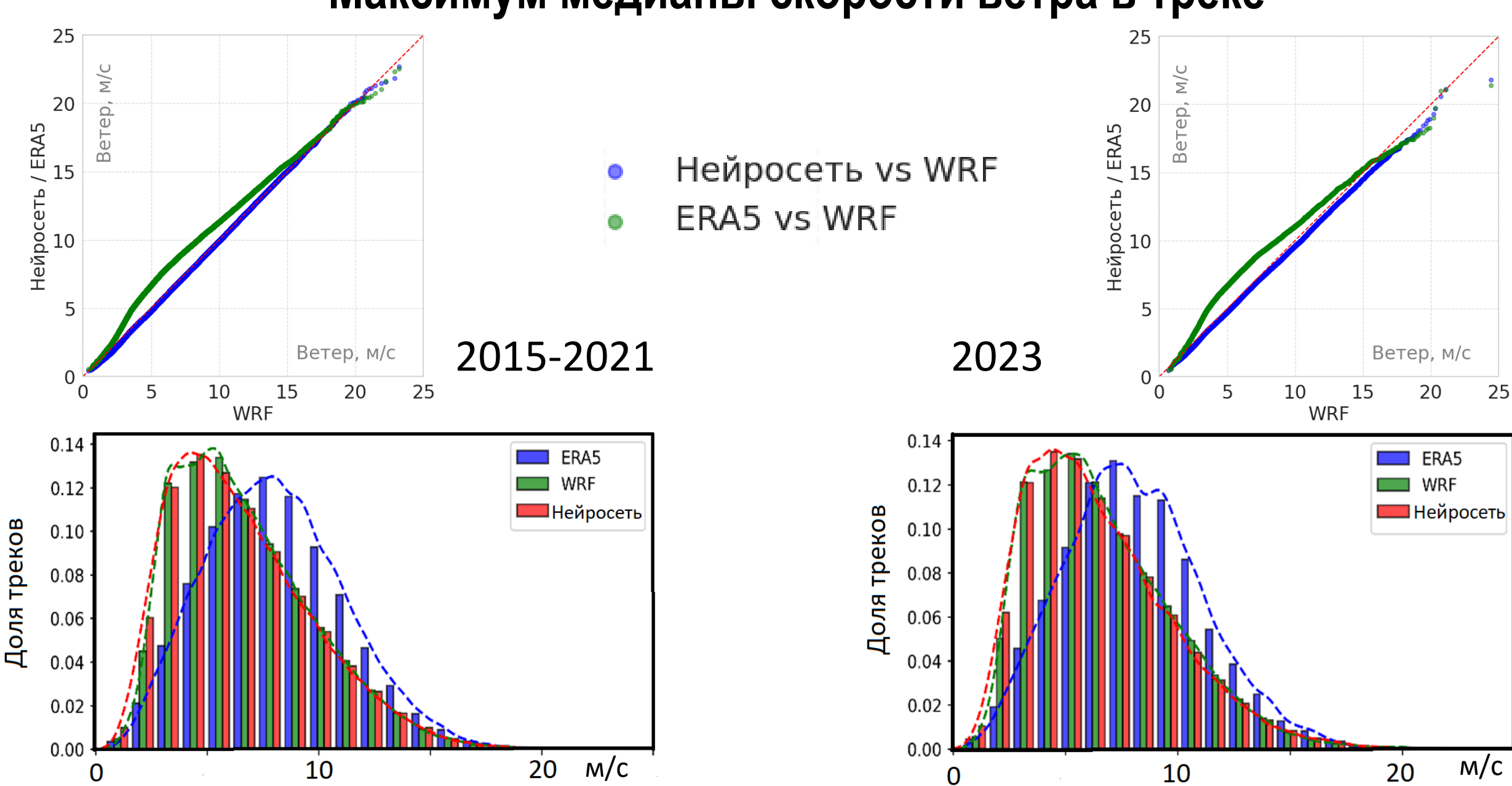
Пространственная спектральная плотность кинетической энергии ветра (2023 г.)



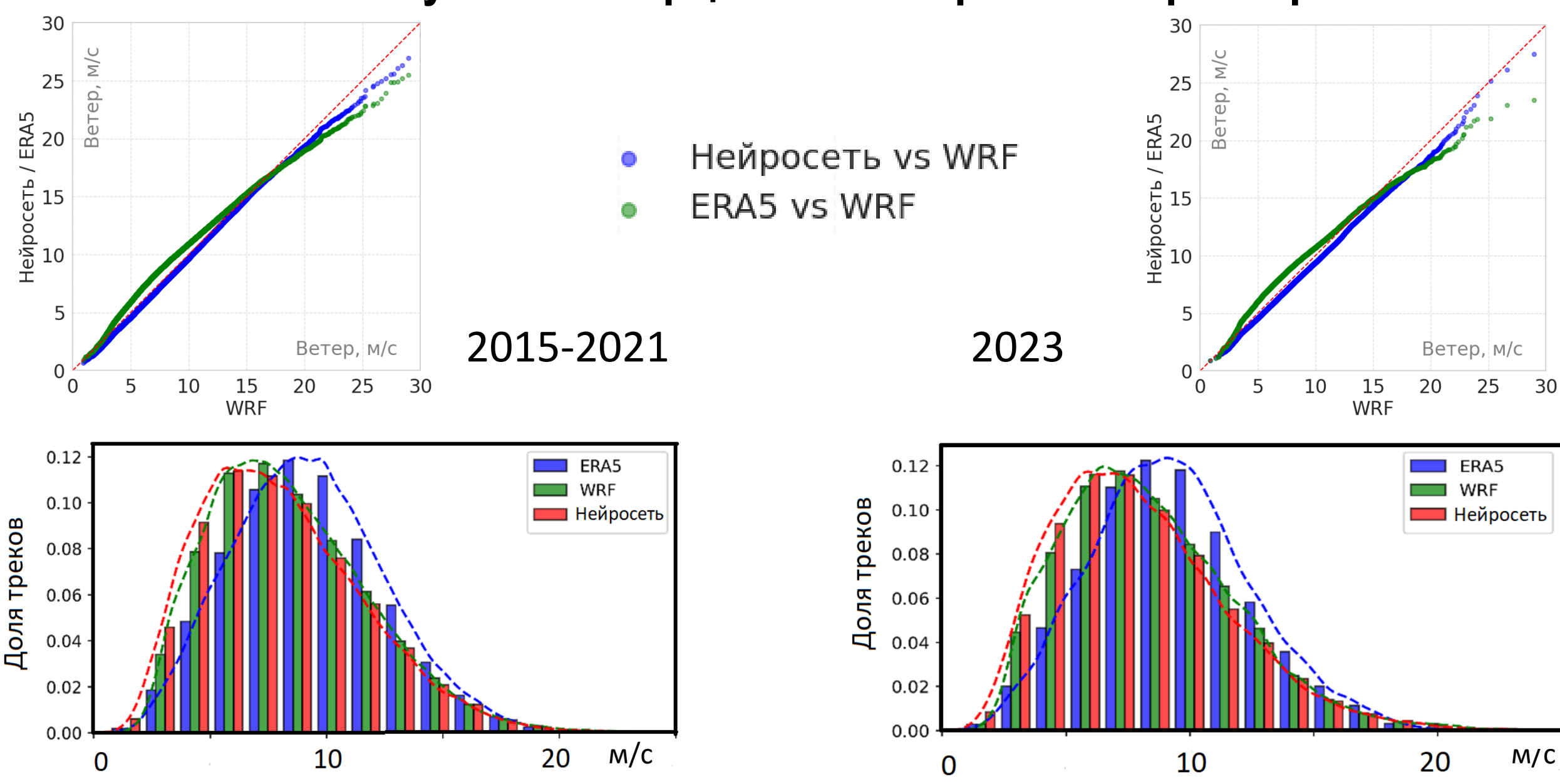
Результаты трекинга мезомасштабных когерентных вихревых структур

	ERA5	WRF	НЕЙРОСЕТЬ
	15193	28672	29435
Число треков	$\Delta = -13479$		$\Delta = +763$
	$\Delta \approx 47\%$		$\Delta \approx 2,7\%$

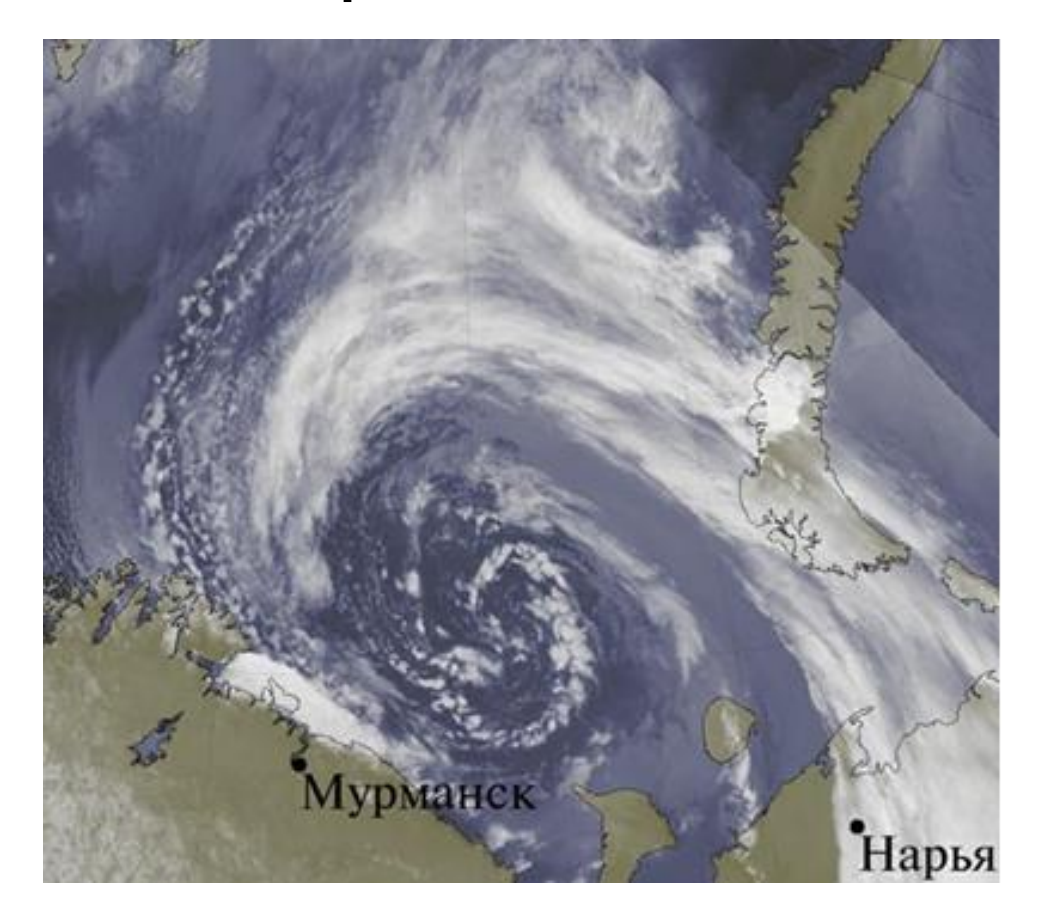
Максимум медианы скорости ветра в треке



Максимум 95-го перцентиля скорости ветра в треке



Полярный мезоциклон 15.02.2022 08:00 UTC

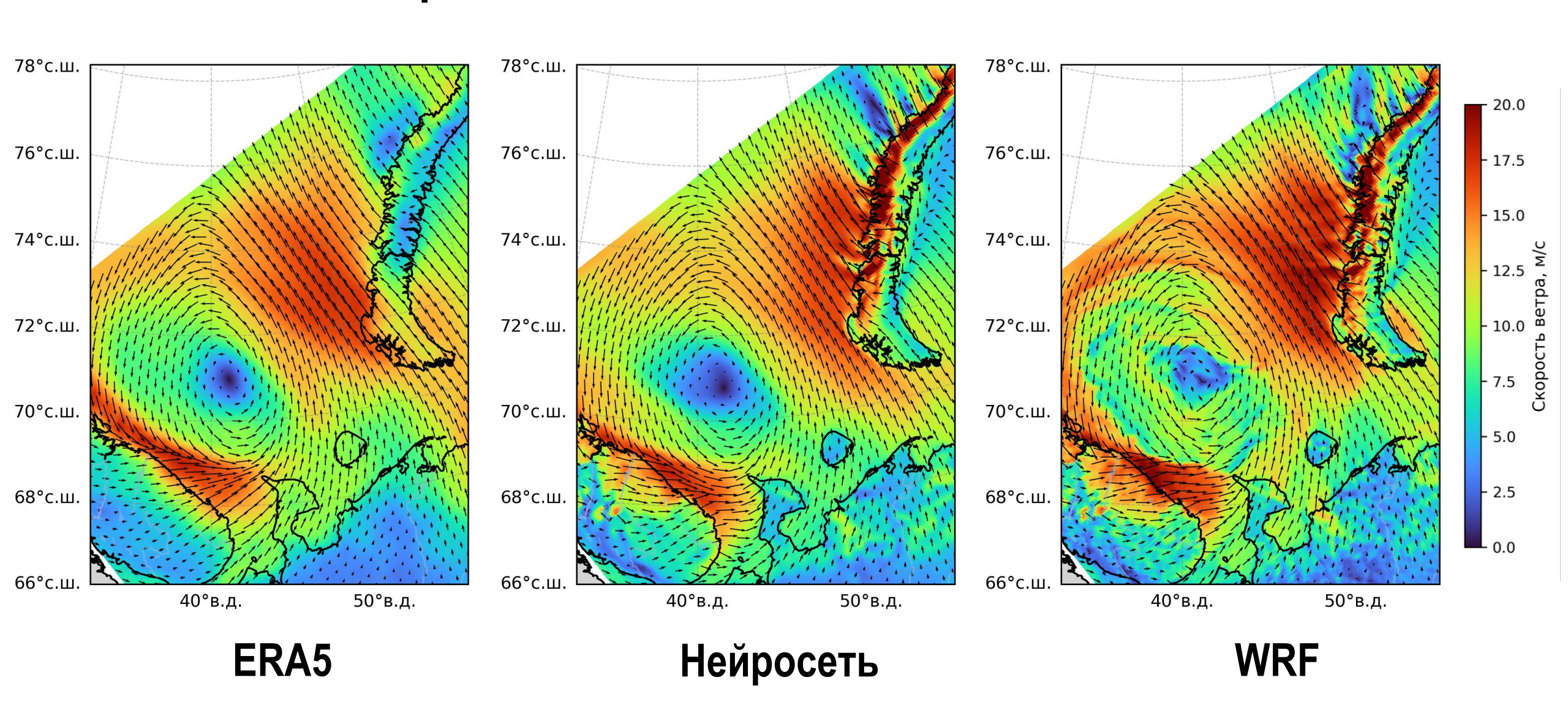


Полярный мезоциклон 15 февраля 2022 года над акваторией Баренцева моря.

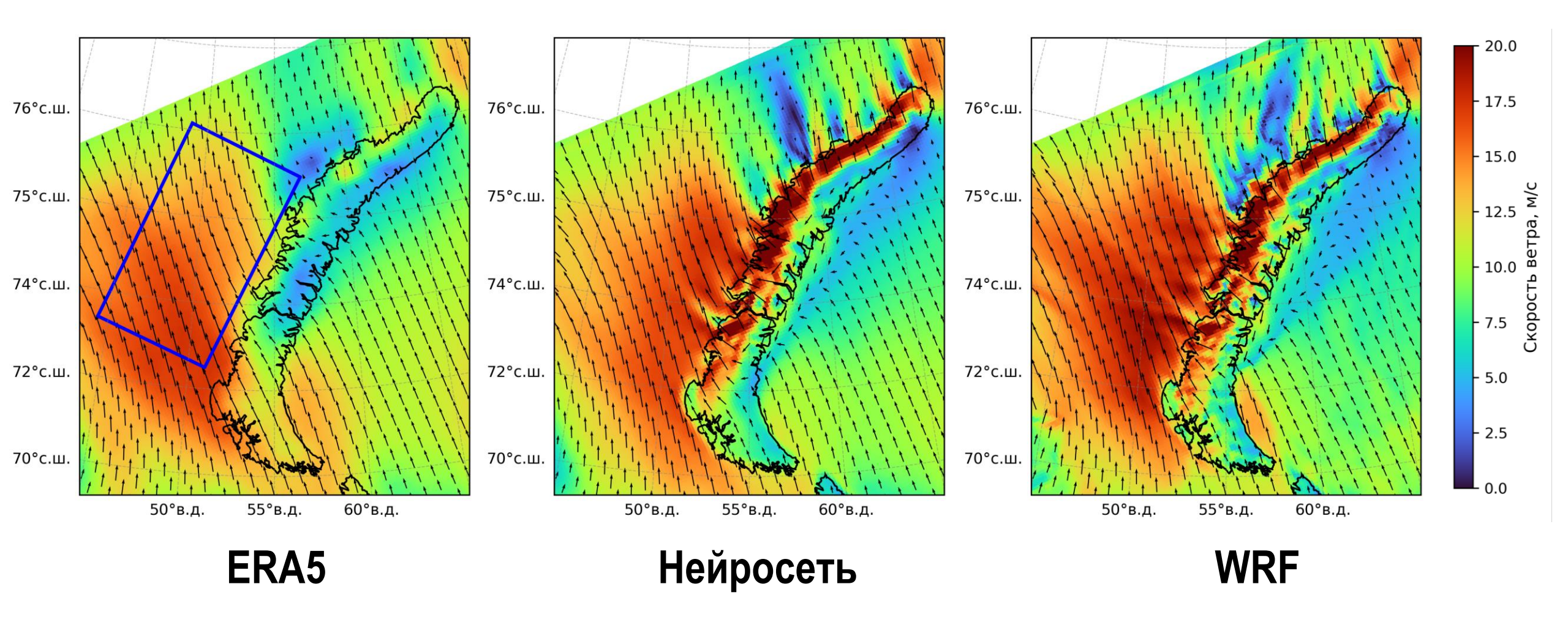
ИК-изображение, полученное в 7:45 UTC

[Петриченко и др., 2023]

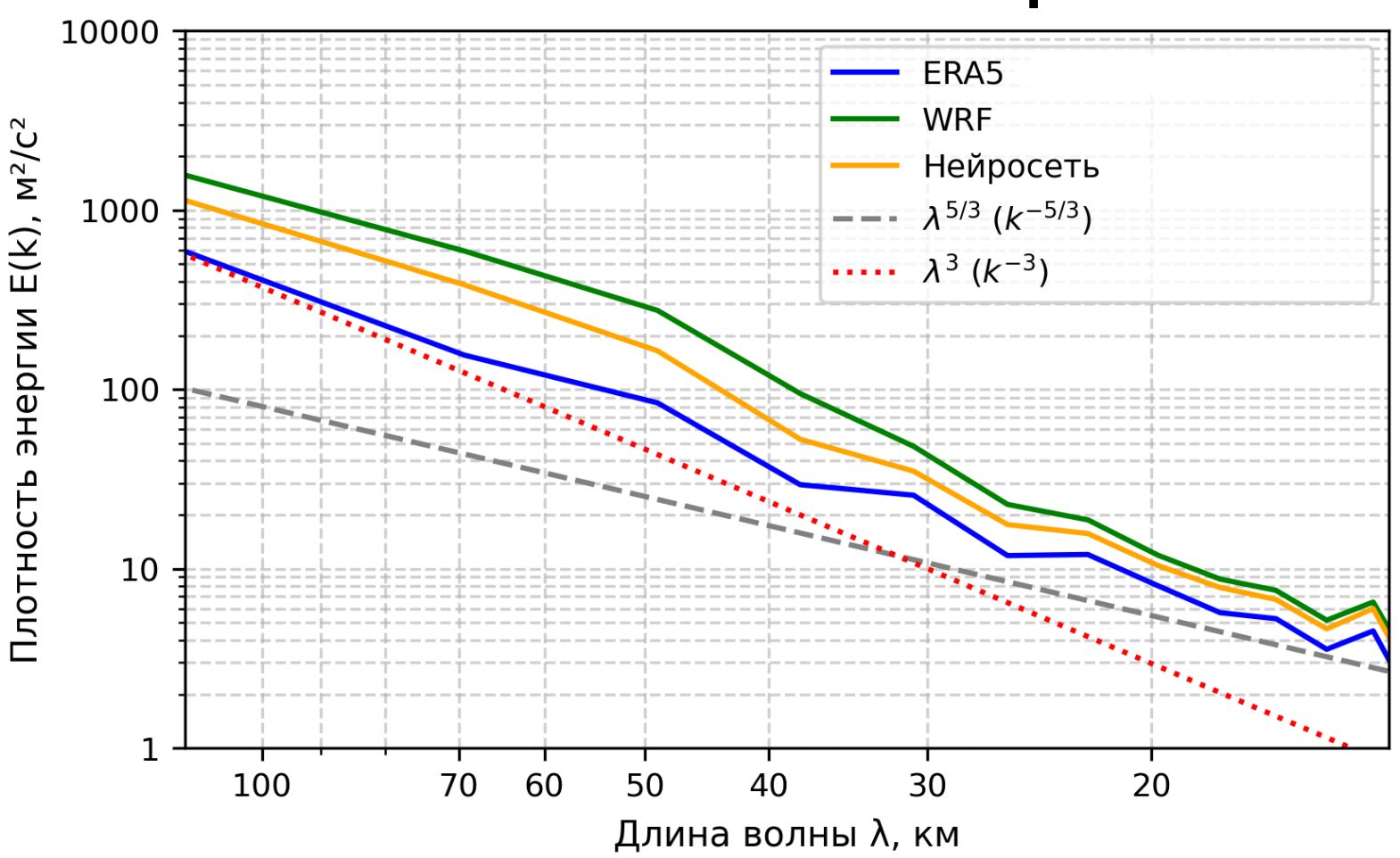
Полярный мезоциклон 15.02.2022 08:00 UTC



Новоземельская бора 15.02.2022 08:00 UTC

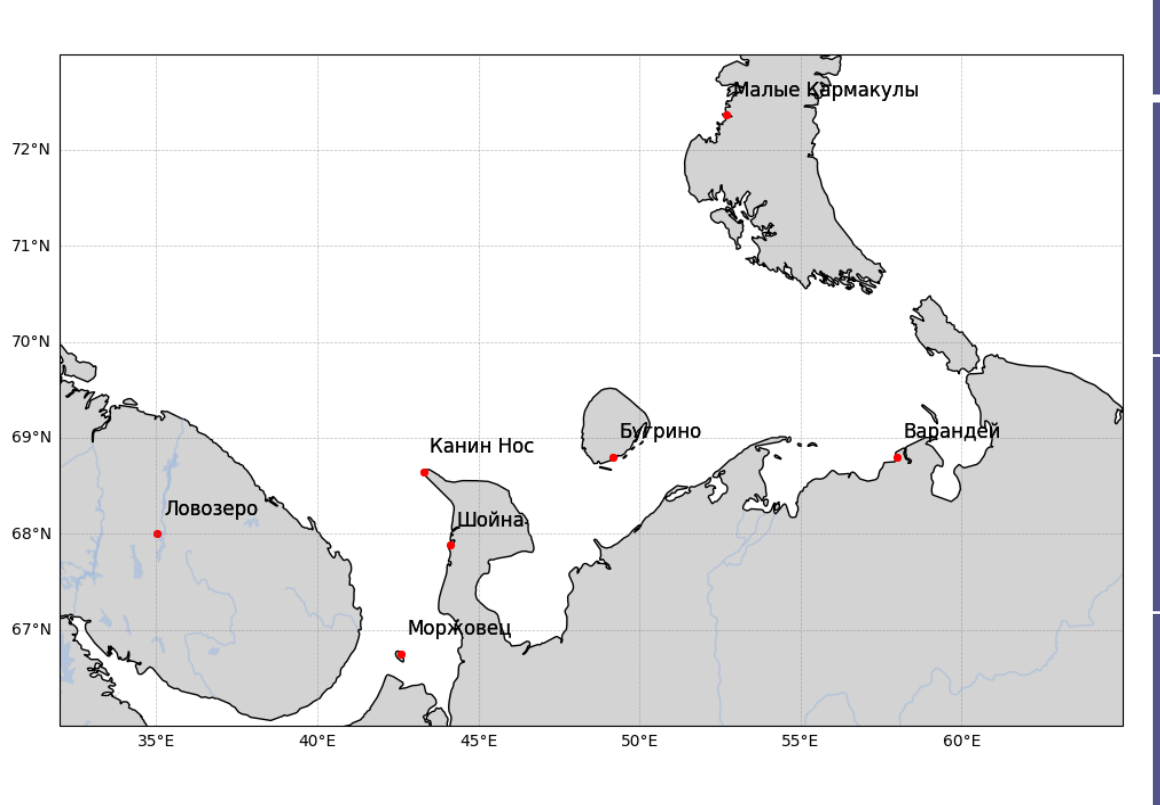


Новоземельская бора



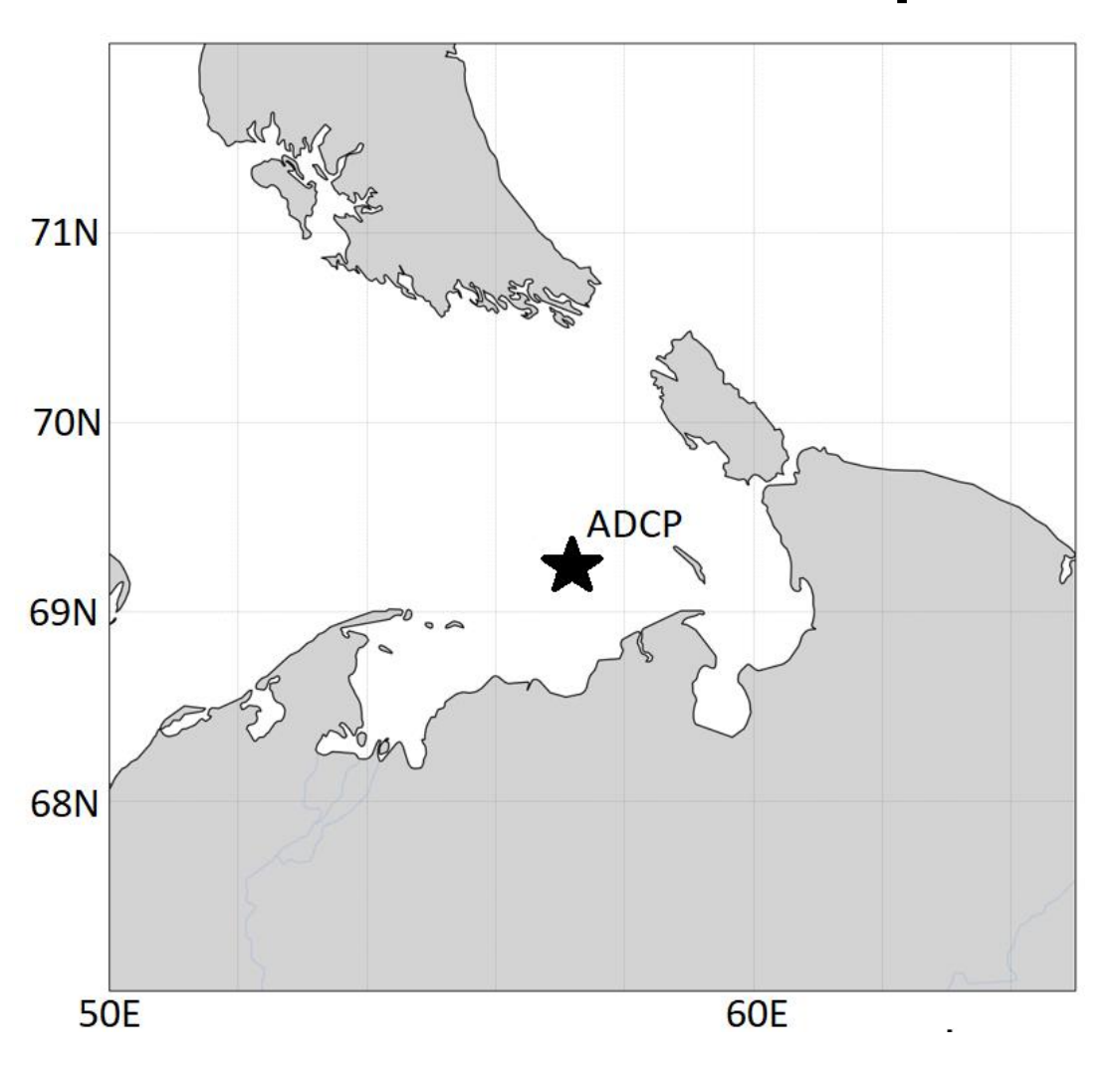
Пространственная спектральная плотность кинетической энергии приповерхностного ветра за период боры с 14 по 16 февраля 2022 г.

Сравнение с метеостанциями



Модель	Метрика	Канин Нос	Бугрино
ERA5	RMSE, м/с	1,79	1,57
	R	0,88	0.95
WRF	RMSE, м/c	2,00	1,36
	R	0,88	0,93
Нейросеть	RMSE, м/c	1,96	1,20
	R	0,93	0,96

Моделирование ветрового волнения



Модель	Метрика	ADCP1		
			ДИ	
ERA5	RMSE, M	0,465	[0,458; 0.472]	
	R	0,877	[0,871; 0,882]	
	В, м	-0,361	[-0,368; -0,354]	
WRF	RMSE, M	0,399	[0,393; 0,406]	
	R	0,879	[0,874; 0,884]	
	В, м	-0,268	[-0,274; -0,262]	
Нейросеть	RMSE, M	0,417	[0.410; 0.424]	
	R	0,882	[0,877; 0,887]	
	В, м	-0,298	[-0,305; -0.292]	

Расположение акустического допплеровского профилографа течений ADCP

Выводы

Разработан подход создания, обучения, применения и оценки качества нейросетевых моделей масштабирования полей ветра;

в рамках подхода:

- ₱ Разработаны и применены архитектуры нейросетей для детализации полей приповерхностного ветра в ключевых для оценки мезомасштабной динамики атмосферы регионах (Баренцево и Карское моря);
- **♦ Предложены подходы оценки качества воспроизведения феноменов**, ориентированные на характеристики жизненного цикла мезомасштабных когерентных структур и на характеристики спектральной плотности кинетической энергии ветра;
- ♦ Нейросетевой метод детализации ветра превосходит опорный метод в российском секторе Арктики, обеспечивая лучшее воспроизведение характеристик мезомасштабных структур;
- **♦ Выявлена недооценка мезомасштабной динамики в ERA5** в российском секторе Арктики, включая количество когерентных структур, экстремальные и медианные скорости ветра.